

BULLETIN 1' 2013
ENGINEERING
ACADEMY
OF UKRAINE



1' 2013

ВІСНИК

ІНЖЕНЕРНОЇ
АКАДЕМІЇ
УКРАЇНИ

ТЕОРЕТИЧНИЙ І НАУКОВО-ПРАКТИЧНИЙ ЖУРНАЛ
ІНЖЕНЕРНОЇ АКАДЕМІЇ УКРАЇНИ

THEORETICAL AND APPLIED SCIENCE JOURNAL
ENGINEERING ACADEMY OF UKRAINE



ВІСНИК
ІНЖЕНЕРНОЇ АКАДЕМІЇ УКРАЇНИ
ВИПУСК 1

***BULLETIN OF ENGINEERING
ACADEMY OF UKRAINE***

Issue 1

Київ 2013 Kyiv

УДК 004.93

¹В.Ю. Кучерук, д.т.н.
²Р.І. Лішук

МЕТОД АДАПТИВНОЇ БІНАРИЗАЦІЇ ЗОБРАЖЕННЯ З НЕРІВНОМІРНИМ ОСВІТЛЕННЯМ

¹Вінницький національний технічний університет, e-mail: kucheruk@mail.ru

²Уманський національний університет садівництва, e-mail: roma_lir@mail.ru

У статті запропоновано розширення методу Бернсена для покращення адаптивного порогового оброблення при бінаризації зображення з нерівномірним освітленням. При використанні запропонованого підходу отримується значне скорочення часу роботи алгоритму.

Ключові слова: інтегральне зображення, бінаризація, метод Отса, метод Ніблека, метод Бернсена, QR-код

Вступ. Бінаризація зображення являє собою процес перетворення кольорової палітри зображення до двох кольорів. В порівнянні з оригіналом, бінарне зображення спотворюється, з'являється шум. У результаті цього виникають порушення цілісності структури об'єктів на бінарному зображені. Порушення цілісності структури об'єктів виникає також внаслідок нерівномірного освітлення зображення, накладання об'єктів та ін.

Бінаризація зображення полягає у віднесені кожного пікселя зображення в один із двох класів. Належність пікселя до певного класу залежить від специфіки розв'язуваної задачі, від характеристики як цього пікселя, так і його сусідів. У даній задачі потрібно виділити область на зображені, яка за деякими ознаками відрізняється від інших, причому дані ознаки не завжди чітко виражені.

Аналіз існуючих досліджень. На рис. 1 представлений QR-код. QR-код – матричний код, розроблений і представлений японською компанією "Denso-Wave" в 1994 році. Основною перевагою QR-коду є легке розпізнавання скануючим обладнанням (цифровою камерою), що дає можливість використання його в різних сферах діяльності. Це зображення спеціально було оброблено за допомогою графічного редактора, з використанням інструменту "Градієнт" для нанесення нерівномірного освітлення. Одним з найпростіших методів бінаризації є глобальна бінаризація. Для використання цього методу потрібно встановити поріг бінаризації. Порівняти значення яскравості кожного пікселя із заданим порогом та віднести піксель до об'єкта зображення чи фону. Недоліком такого методу є те, що він враховує лише характеристики поточного пікселя й використовує глобальний для всього зображення поріг бінаризації, що робить його непридатним для застосування на практиці (рис. 2). До того ж, потрібно перебрати всі точки зображення, а для цієї операції потрібен час.



Рис. 1 QR-код з нерівномірним освітленням

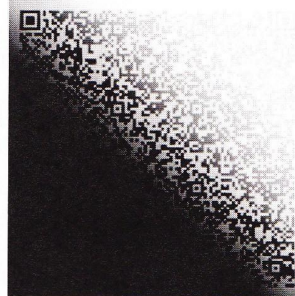


Рис. 2 Результат глобальної бінаризації

Для відділення об'єкту від фону необхідно виконати бінаризацію всього масиву пікселів зображення. Для цього розглянемо та проведемо аналіз найбільш використовуваних методів бінаризації: метод Отса, метод Ніблека, метод Бернса.

Одним із ефективних методів глобальної бінаризації, як за якістю так і за швидкістю виконання, є метод Отса [1]. Метод використовує гістограму розподілу значень яскравостей пікселів растрового зображення. Будується гістограма за значеннями

$$p_i = n_i / N,$$

де N – це загальна кількість пікселів на зображені; n_i – це кількість пікселів з рівнем яскравості i .

Діапазон яскравостей ділиться на два класи за допомогою порогового значення рівня яскравості k (k – ціле значення від 0 до L). Кожному класу відповідають відносні частоти ω_0 та ω_1 :

$$\omega_0(k) = \sum_{i=1}^k p_i; \quad \omega_1(k) = \sum_{i=k+1}^L p_i = 1 - \omega_0(k).$$

Середні рівні для кожного з двох класів зображення розраховуються за формулами:

$$\mu_0 = \sum_{i=1}^k \frac{ip_i}{\omega_0}; \quad \mu_1 = \sum_{i=k+1}^L \frac{ip_i}{\omega_1}.$$

Далі обчислюється максимальне значення оцінки якості поділу зображення на дві частини

$$\eta(k) = \max_{k=1}^{l-1} \left(\frac{\sigma_{kl}^2(k)}{\sigma_{zae}^2} \right),$$

де $\sigma_{kl}^2 = \omega_0 \omega_1 (\mu_1 - \mu_0)^2$ – міжкласова дисперсія; σ_{zae}^2 – загальна дисперсія для всього зображення.

До недоліків методу Отсу відноситься розмиття ліній, що зумовлюється, в більшості випадках, нерівномірним освітленням об'єкту бінаризації.

У методі Ніблека [2] значення порогу T обирається в межах певного округу (маски) пікселя розміру $N \times N$ при ($N=2k+1$), що бінаризується, виходячи зі співвідношення

$$T = m + k \cdot \sigma,$$

де m – середнє значення яскравості I ; σ – середньоквадратичне відхилення в межах маски; k – константа, яка підбирається так, щоб забезпечити найбільшу якісну бінаризацію.

Розмір округу повинен бути мінімальним, але таким, щоб зберегти локальні деталі зображення. У той же час розмір повинен бути достатньо великим, щоб зменшити вплив шуму на результат. Величина k визначає, яку частину контуру об'єкта взяти як об'єкт. При $k=-0,2$ задається досить гарне розділення об'єктів, якщо вони представлені чорним кольором, а при $k=+0,2$ – якщо об'єкти представлені білим кольором. Даний метод в областях з плавною зміною рівнів сірого призводить до виникнення артефактів та шумів.

Метод Бернсена [3] базується на ідеї зіставлення рівня яскравості перетворюваного пікселя зі значеннями локальних середніх, обчислюваних в його околі. Пікселі зображення обробляються по черзі шляхом порівняння їх інтенсивності з середніми значеннями яскравості у вікнах (масках) з центрами в точках P_l ($l = 0, 1, \dots, 7$) (рис. 3).

P_1	P_2	P_3
P_0	\xrightarrow{k} (m,n)	P_4
P_7	P_6	P_5

Якщо символ "1" означає елемент об'єкта, а "0" – елемент фону в результуючому бінарному зображені, то значення перетвореного пікселя (m, n) стає рівним 1 тоді, коли для всіх $l = 0, 1, \dots, 7$ виконується умова

$$P_l - f(m, n) > t \quad \text{де } t \text{ – параметр;} \quad P_l = \frac{1}{(2K+1)^2} \sum_{-K \leq i, j \leq K} f(m_l + i, n_l + j) \quad \text{– середня}$$

локальна яскравість; $f(m_l, n_l)$ – яскравість в точці P_l з координатами (m_l, n_l) .

Рис. 3 Обробка пікселя

Автоматичне та адаптивне визначення величини локального параметра t замість використання глобального значення дозволяє усунути помилки порогового перетворення. Параметр t обчислюється за таким алгоритмом:

1. У вікні $(2K+1) \times (2K+1)$ з центром у перетворюваних пікселях $f(m, n)$ обчислюються значення:

$$f_{\max} = \max_{-K \leq i, j \leq K} f(m+i, n+j); \quad f_{\min} = \min_{-K \leq i, j \leq K} f(m+i, n+j).$$

2. Обчислюються величини:

$$\Delta f_{\max} = |f_{\max} - P|; \quad \Delta f_{\min} = |f_{\min} - P|.$$

3. Якщо $\Delta f_{\max} > \Delta f_{\min}$, то локальне вікно $(2K+1) \times (2K+1)$, швидше за все, містить більше локальних низьких яскравостей, тому $t = \alpha \left(\frac{2}{3} f_{\min} + \frac{1}{3} P \right)$,

де α – константа з діапазону $[0,3; \dots; 0,8]$.

4. Якщо $\Delta f_{\max} < \Delta f_{\min}$, то в локальному вікні $(2K+1) \times (2K+1)$ міститься більше локальних високих яскравостей, тому $t = \alpha \left(\frac{1}{3} f_{\min} + \frac{2}{3} P \right)$

5. Якщо $\Delta f_{max} = \Delta f_{min}$, то слід збільшити розмір вікна до $(2K+3) \times (2K+3)$ і повторити операції, починаючи з 1-го кроку. Якщо ж і в цьому випадку $\Delta f_{max} = \Delta f_{min}$, то піксель $f(m, n)$ відноситься до фону (або ж шуканий параметр вибирається як $t = \alpha P$).

Однак швидкість роботи даного алгоритму виявилася низькою. Тому виникла необхідність пошуку більш швидкодіючих рішень.

Виклад основного матеріалу дослідження. Як оптимізація даного алгоритму було прийнято рішення про представлення оброблюваного зображення у вигляді інтегрального. Інтегральне зображення може бути використане при наявності функції $f(x, y)$, що представляє деяку залежність між пікселями і дійсними числами (наприклад, яскравість пікселів), і необхідності обчислити суму цієї функції на деяких ділянках зображення.

Щоб обчислити інтегральне зображення, необхідно зберігати для кожної з прямокутних областей зображення число $I(x, y)$ – суму всіх значень $f(x, y)$ для пікселів, розташованих лівіше і вище пікселя (x, y) . Для кожного пікселя вірна формула

$$I(x, y) = f(x, y) - I(x-1, y-1) + I(x, y-1) + I(x-1, y).$$

При наявності обрахованого інтегрального зображення сума функції $f(x, y)$ для будь-якої прямокутної області з верхнім лівим кутом в пікселі (x_1, y_1) і нижнім правим кутом в пікселі (x_2, y_2) може бути за короткий час обчислена за допомогою виразу

$$\sum_{x=x_1}^{x_2} \sum_{y=y_1}^{y_2} f(x, y) = I(x_2, y_2) - I(x_2, y_1-1) - I(x_1-1, y_2) + I(x_1-1, y_1-1)$$

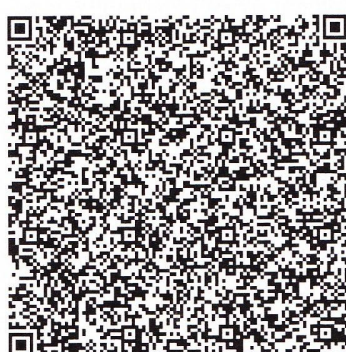


Рис. 4 Результат використання інтегральної матриці для адаптивної бінаризації зображення з нерівномірним

Наведений метод адаптивної порогової обробки є простим розширенням методу Бернсена, основною ідеєю якого є порівняння кожного пікселя із середнім арифметичним оточуючих його пікселів.

На першому проході по зображеню обчислюється інтегральне зображення. На другому проході обчислюється середнє в прямокутнику розміром $s \times s$, використовуючи інтегральне зображення для кожного пікселя, а потім здійснюється порівняння. Якщо значення поточного пікселя на t відсотків менше, ніж середнє, воно встановлюється в чорний колір на бінарному зображені, інакше – в білий.

Результат використання інтегральної матриці для адаптивної бінаризації зображення з нерівномірним освітленням представлений на рис. 4.

Висновки. Використовуючи інтегральне представлення зображення, отримано значне скорочення часу роботи алгоритму за рахунок збереження в інтегральній матриці всіх компонентів. Бінаризація зображення займає чотири звертання до масиву і три арифметичні операції. Запропонований метод дозволяє уникнути різких контрастних ліній та ігнорувати невеликі градієнтні зміни.

Список літературних джерел

1. Otsu N. A threshold selection method from gray-level histograms // IEEE Trans. Sys., Man., Cyber. 9, 1979. – pp. 62-66.
2. Niblack W. An introduction to digital image processing // Englewood Cliffs Prentice Hall, N.J. – 1986. – pp. 115-116.
3. Berntsen, J. Dynamic Thresholding of Grey-Level Images // Proc. of the 8th Int. Conf. on Pattern Recognition, 1986.
4. Crow F. Summed-area tables for texture mapping // SIGGRAPH, 1984. – 207–212.
5. Viola, P., Jones, M. Rapid object detection using a boosted cascade of simple features // In IEEE Computer Vision and Pattern Recognition, 2001. – pp. 511–518.